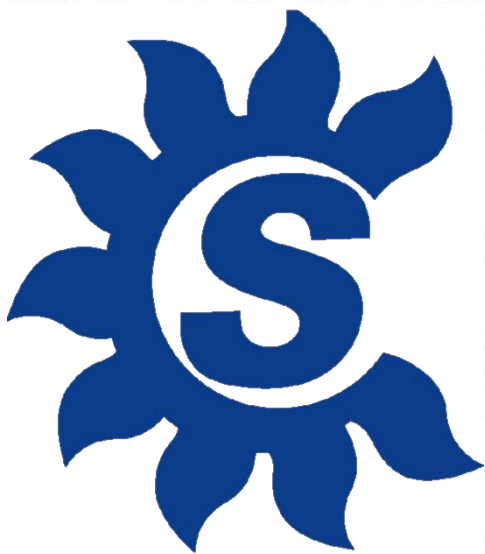


# VIGILANCIA SINÓPTICA DE SUDAMÉRICA



**INFORME**  
AGOSTO 2025

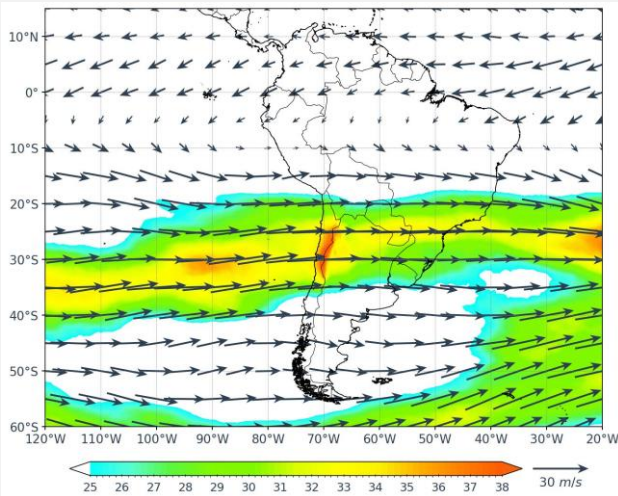


**PRÓXIMO INFORME  
A ACTUALIZAR**  
SEPTIEMBRE 2025

# ANÁLISIS MENSUAL

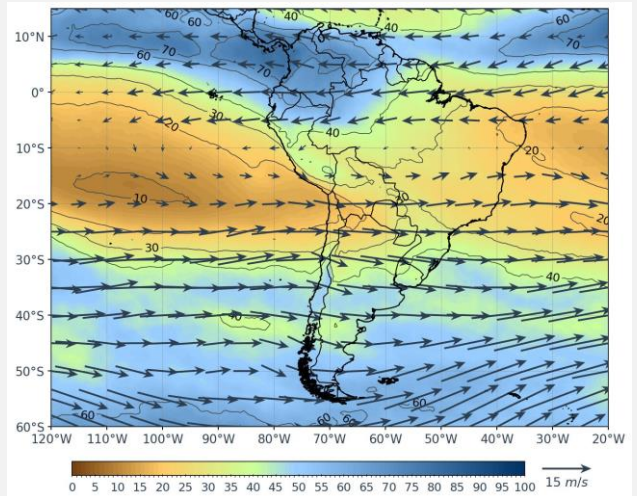
NIVELES ALTOS

Viento (m/s) – 250 hPa



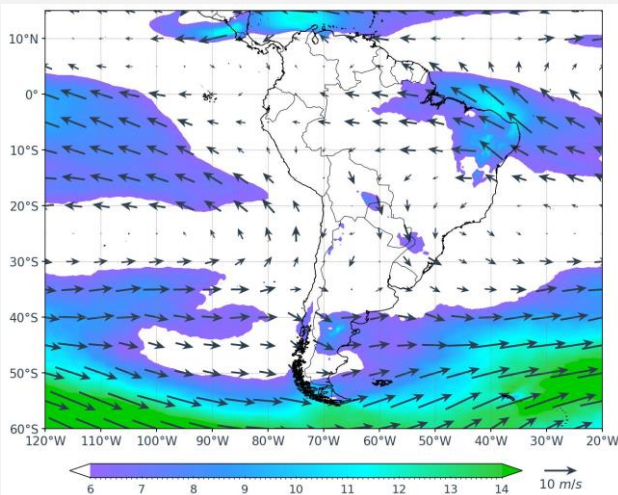
NIVELES MEDIOS

Viento (m/s) – 500 hPa/ Humedad (%)



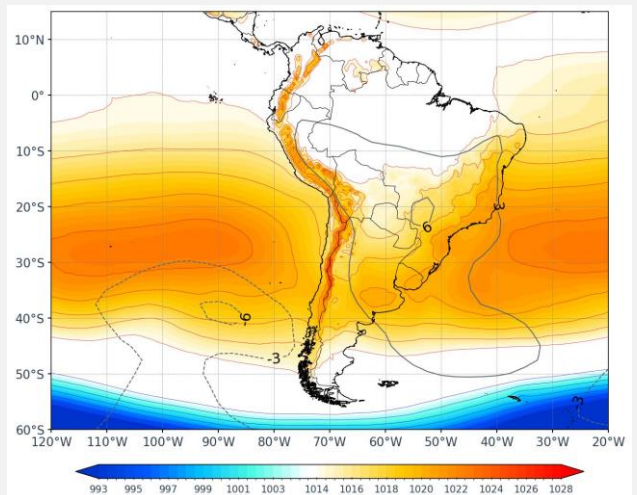
NIVELES BAJOS

Viento (m/s) – 850 hPa



SUPERFICIE

Presión reducida a nivel del mar (hPa)



Para el mes de agosto, en niveles altos se observó con mayor frecuencia una dorsal de configuración zonal, que favoreció inestabilidad localizada sobre el norte de Brasil, Venezuela y Colombia. Desde los 10°S hacia latitudes mayores predominaron vientos del oeste con componente zonal predominante a partir de los 15°S, asociados a ondas entre los 25°S y 55°S. El Jet Subtropical (JS) se presentó como la estructura dominante, alcanzando velocidades promedio máximas cercanas a los 38 m/s.

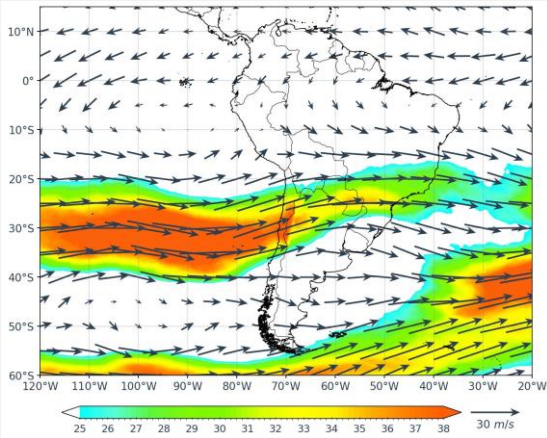
En niveles medios, prevalecieron flujos del oeste con componente zonal desde los 20°S hacia latitudes mayores, reflejando la circulación de niveles altos, con presencia de ondas sobre el centro-sur de Chile y Argentina; por otro lado, hacia el ecuador persistieron flujos del este. También se configuraron circulaciones anticiclónicas, una sobre el Pacífico subtropical alrededor de los 10°S, y otra sobre el este de Brasil extendida desde el Atlántico. Estos sistemas favorecieron el ingreso de flujos del este con humedad cercana al 70% hacia Colombia y Venezuela; mientras que sobre gran parte del resto del continente predominaron condiciones de aire seco, con valores por debajo del 40% de humedad, principalmente en el centro-sur de Brasil, norte de Chile y Argentina, Paraguay, Bolivia y Perú.

En niveles bajos, a 850 hPa predominaron flujos de componente este sobre el norte de Sudamérica, aportando humedad desde el Atlántico hacia la cuenca amazónica. El Jet de Bajos Niveles (JBN) no se presentó bien configurado, observándose solo pulsos puntuales de intensificación sobre Bolivia, Paraguay y el norte de Argentina, con máximos cercanos a 10-11 m/s, que favorecieron transporte de humedad e inestabilidad de manera localizada. En superficie, el Anticiclón del Pacífico Sur (APS) predominó con configuración zonal, con núcleo en torno a los 28°S y 105°W, desplazado hacia el noroeste de su posición climática, con una intensidad superior a los 1020 hPa; por su parte, el Anticiclón del Atlántico Sur (AAS) se presentó desplazado hacia el oeste y con una intensidad superior a su promedio. Además, se reflejó el paso de altas migratorias (AM) durante el mes, con incremento de presión sobre Argentina, Uruguay, Paraguay y Brasil.

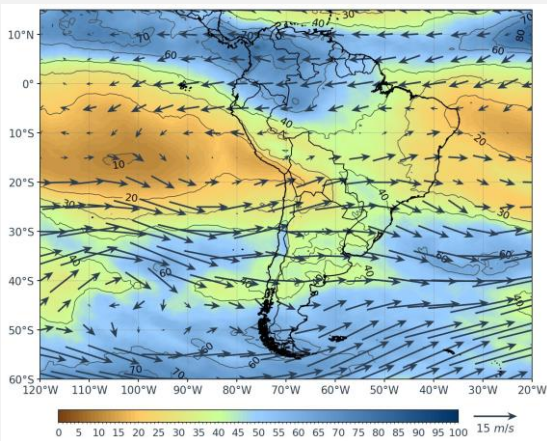
# ANÁLISIS

## Primera decadiaria

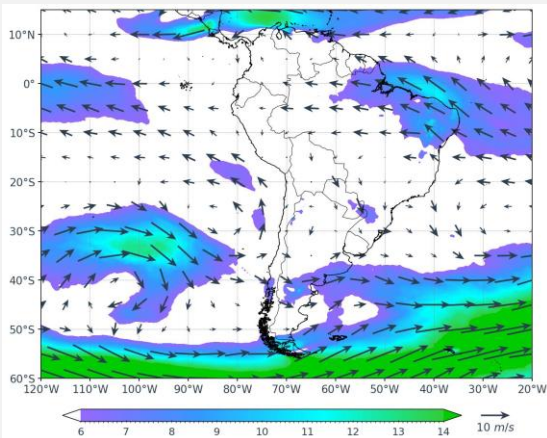
NIVELES ALTOS  
Viento (m/s) – 250 hPa



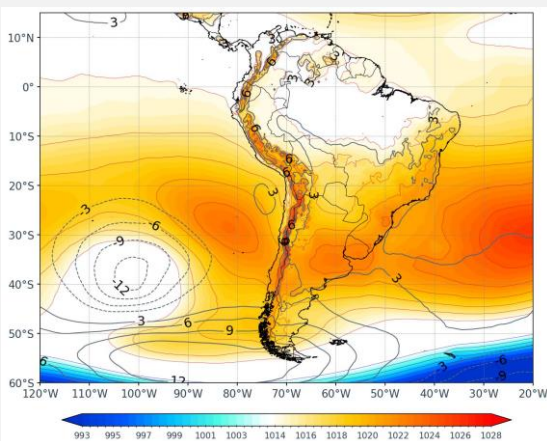
NIVELES MEDIOS  
Viento (m/s) – 500 hPa/Humedad (%)



NIVELES BAJOS  
Viento (m/s) – 850 hPa



SUPERFICIE  
Presión reducida a nivel del mar



Durante la primera decadiaria de agosto, la circulación anticiclónica en niveles altos de la atmósfera se presentó con una configuración más zonal, con flujos del oeste bien definidos desde aproximadamente los 13°S hacia latitudes mayores, con componente zonal dominante, influenciados por la presencia de una vaguada de onda larga bien establecida sobre el centro-sur de Chile, la cual acentuó la inestabilidad regional. El JS se ubicó entre los 110°W y 30°W, en latitudes comprendidas entre 20°S y 30°S, alcanzando velocidades máximas cercanas a los 38 m/s. Al norte del continente, entre el ecuador y 10°N, se observaron flujos divergentes del noreste que indican una posible influencia de una circulación anticiclónica débil en altura, aunque sin configuración dorsal bien definida, lo que sugiere estabilidad relativa en esa zona.

En niveles medios, predominaron circulaciones anticiclónicas sobre el Pacífico central, alrededor de 15°S - 110°W y el Atlántico sur entre 25°S - 30°W, que favorecieron el ingreso de aire seco hacia el centro de Sudamérica. Asimismo, se observaron flujos de componente este que transportaron humedad moderada (60-80%) hacia el norte y noreste del continente, aportando condiciones favorables para la convección en regiones amazónicas. Una vaguada débil se mantiene sobre el centro-sur de Chile y Argentina, generando una menor inestabilidad en la zona andina. A partir de los 25°S hacia el sur, se observan condiciones de humedad media a baja.

En niveles bajos, flujos del noreste y este transportaron humedad hacia la Amazonía, centro-oeste de Brasil y norte de Bolivia. En el centro de Argentina entre 30°S-40°S, se intensificaron vientos del norte-noroeste de hasta 14 m/s, aportando aire cálido e inestable, mientras que al sur de los 40°S dominaron vientos del suroeste. En superficie, el Anticiclón del Pacífico Sur (APS) se ubicó cerca de 35°S y 100°W, con presiones alrededor de 1022 hPa, más débil y desplazado al este, permitiendo la interacción con una baja presión al suroeste, que favoreció el paso de sistemas frontales en el sur de Chile y Argentina. El Anticiclón del Atlántico Sur (AAS) no estaba bien configurado, pero se observó una extensión de alta presión hacia Brasil y norte de Argentina, generando estabilidad para ese sector.

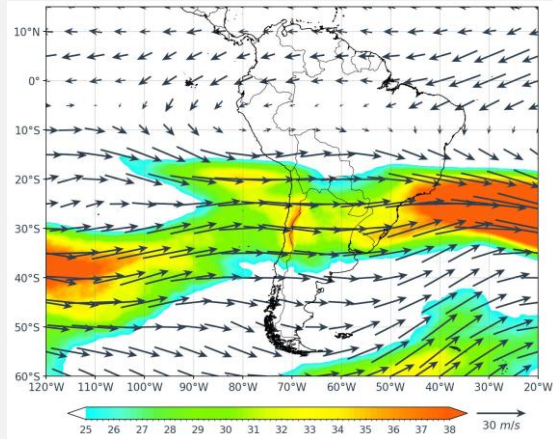
# ANÁLISIS

## Segunda decadiaria

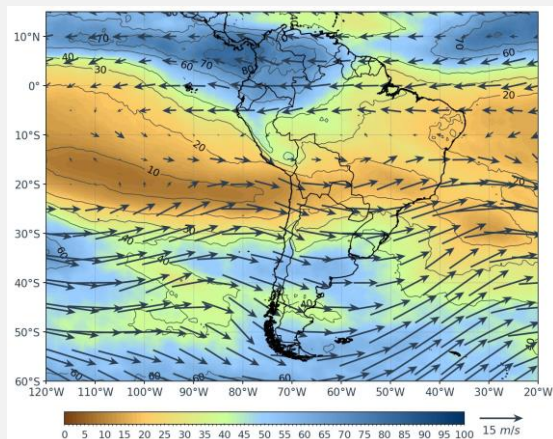
En niveles altos, se observó una dorsal subtropical débil al norte de Sudamérica, lo que favorece la inestabilidad atmosférica en el norte del continente, especialmente sobre Brasil, Colombia y Venezuela. Aunque la dorsal está poco configurada, los flujos predominantes siguen siendo del oeste a lo largo del continente, alcanzando velocidades cercanas a los 38 m/s en el JS, especialmente en el sur de Argentina y Chile. Este comportamiento resalta la presencia de un JS acoplado al ramal norte del JP, lo que genera un patrón de vaguada en la región sur de Perú y el norte de Chile, favoreciendo la estabilidad atmosférica en esas zonas y contribuyendo a las condiciones de baja humedad en el sur de Sudamérica.

En niveles medios, prevaleció un contenido de humedad entre 60-80% en el norte de Sudamérica, especialmente sobre Brasil, Colombia y Venezuela, debido a los flujos del este que transportan humedad desde el océano Atlántico. Al mismo tiempo, se observaron flujos del oeste desde los 20°S, los cuales interactúan con vaguadas en las regiones de Chile y el norte de Argentina. Además, dos áreas de alta presión o circulaciones anticiclónicas, una sobre el océano Pacífico y otra sobre el este de Brasil (alrededor de los 15°S). Estos sistemas favorecen la entrada de aire seco (con menos del 40% de humedad) hacia el sur de Sudamérica, especialmente sobre Chile, Argentina, Paraguay, Bolivia y Perú, mientras que el norte se mantiene más húmedo.

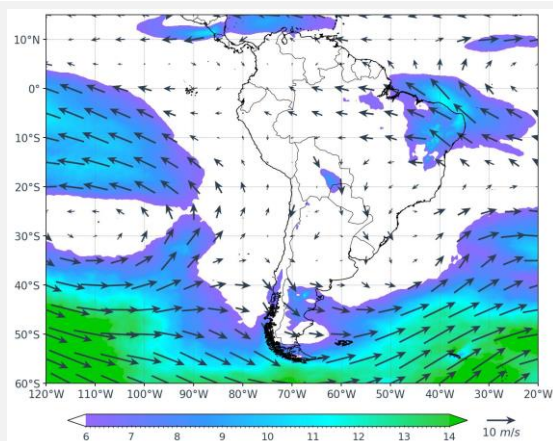
En superficie, el APS se mantuvo cuasi meridional, con su núcleo cerca de los 32°S y 87°W, con presiones superiores a los 1024 hPa. Estuvo desplazado hacia el sureste, más hacia el este de lo habitual según su climatología, lo que indica una intensificación del sistema. Por otro lado, el AAS se mantuvo desplazado hacia el suroeste y con mayor intensidad de lo normal. Este patrón favoreció la entrada de aire seco (con menos del 40% de humedad) hacia el sur de Sudamérica, especialmente sobre Chile, Argentina y Brasil. En niveles bajos, los flujos del este predominaron en el norte de Sudamérica, transportando humedad desde el océano Atlántico hacia la región amazónica, lo que mantuvo el aire más húmedo sobre Brasil. Estos vientos contribuyeron al transporte de humedad e interactuaron con el sistema de alta presión superficial, sin generar inestabilidad significativa en el sur del continente.



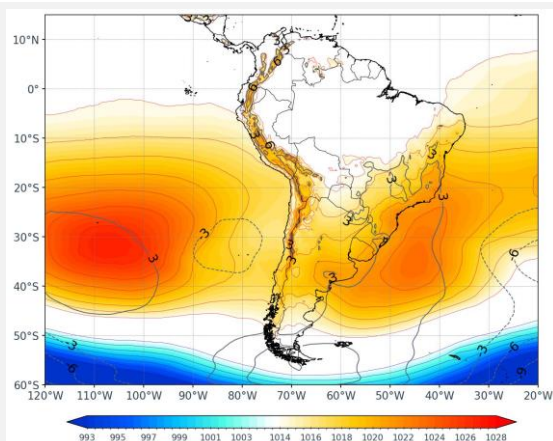
NIVELES ALTOS  
Viento (m/s) – 250 hPa



NIVELES MEDIOS  
Viento (m/s) – 500 hPa/ Humedad (%)



NIVELES BAJOS  
Viento (m/s) – 850 hPa

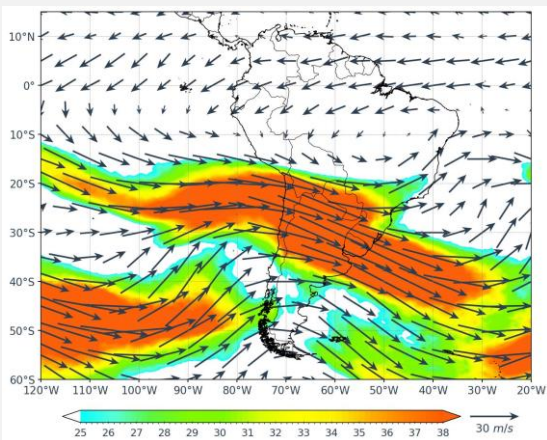


SUPERFICIE  
Presión reducida a nivel del mar

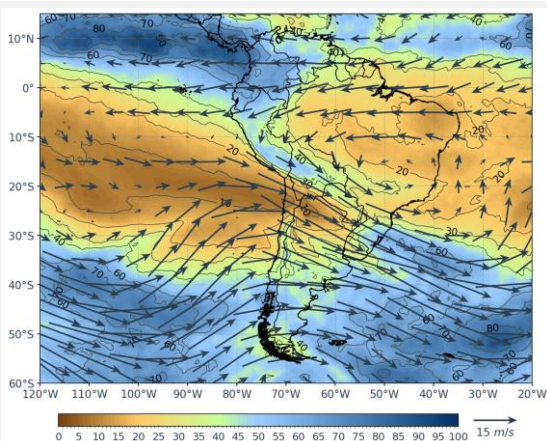
# ANÁLISIS

## Tercera decadiaria

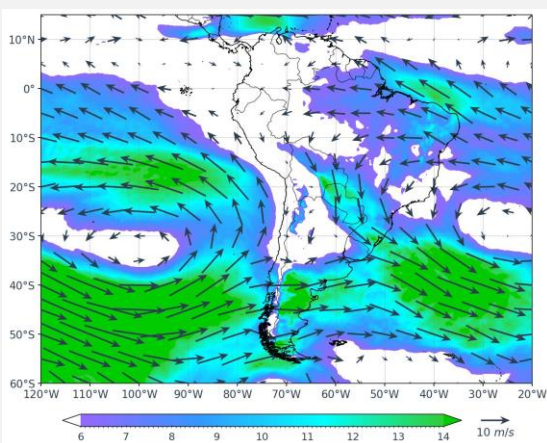
NIVELES ALTOS  
Viento (m/s) – 250 hPa



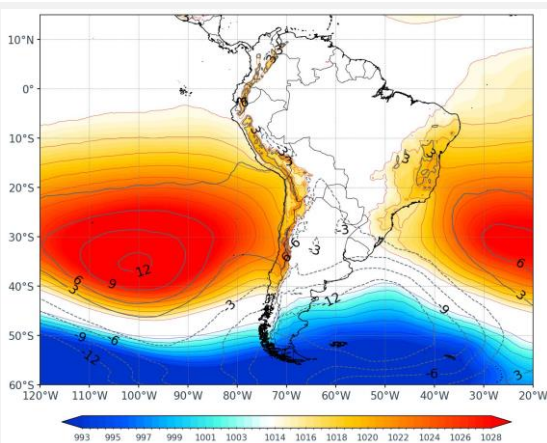
NIVELES MEDIOS  
Viento (m/s) – 500 hPa/ Humedad (%)



NIVELES BAJOS  
Viento (m/s) – 850 hPa



SUPERFICIE  
Presión reducida a nivel del mar

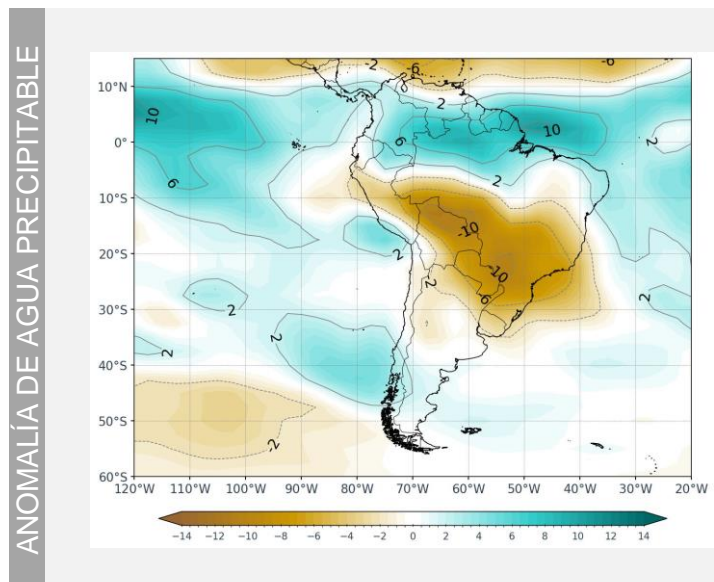
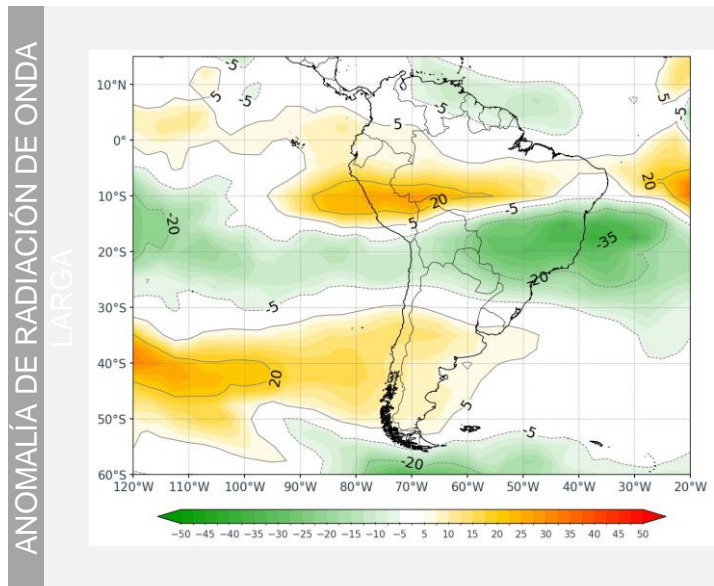


En niveles altos, predominó un JS fuerte acoplado al ramal norte del JP, con velocidades máximas cercanas a los 38 m/s. Los flujos del oeste son dominantes a partir de los 10°S hacia el sur, reflejando una circulación de tipo zonal bien organizada en latitudes medias. Además, se observa la presencia de vaguadas al oeste de los Andes, especialmente frente al norte de Chile y sur de Perú, que generan divergencia en altura y favorecen condiciones de inestabilidad localizada en sectores andinos del altiplano. En la zona norte del continente, especialmente sobre el norte de Brasil, Colombia y Venezuela, se identifica una dorsal subtropical poco definida, asociada a una circulación anticiclónica en altura. El resto del continente, particularmente la zona centro y este, se presentó una circulación más uniforme y estable.

En niveles medios, los flujos del este transportaron humedad entre 60-80% hacia el norte de Sudamérica (Brasil, Colombia, Venezuela) promoviendo condiciones propicias para la convección en esa zona. Circulaciones anticiclónicas sobre el Pacífico y el este de Brasil reforzaron el aire seco hacia el centro sur (humedad inferiores al 40%), hacia el centro y sur del continente, incluyendo sectores de Bolivia, Paraguay, norte de Argentina y gran parte de Brasil, lo que limita el desarrollo convectivo en estas zonas. Los vientos del oeste desde los 20°S interactuaron con vaguadas, generando escenarios de inestabilidad en regiones andinas del norte de Chile y norte de Argentina; esta configuración favoreció la inestabilidad en zonas precordilleranas y altiplánicas, especialmente si se mezcla con humedad.

En superficie, el APS se presentó más intenso que lo climatológico, desplazado hacia el sureste, El AAS presentó una intensidad mayor, ubicado hacia el este de su posición habitual. En niveles bajos, los flujos del este trasladaron humedad al norte, pero la estabilidad domina el sur del continente, dado la influencia de las altas presiones. En niveles bajos, se observó una intensificación de los vientos del este en la Amazonía, lo que favoreció el transporte de humedad hacia el centro del continente. Además, se observó una señal moderada de vientos intensificados sobre Bolivia y norte de Argentina (13 m/s), lo cual estuvo asociado al JBN, lo cual contribuiría al transporte de humedad.

# ANÁLISIS MENSUAL

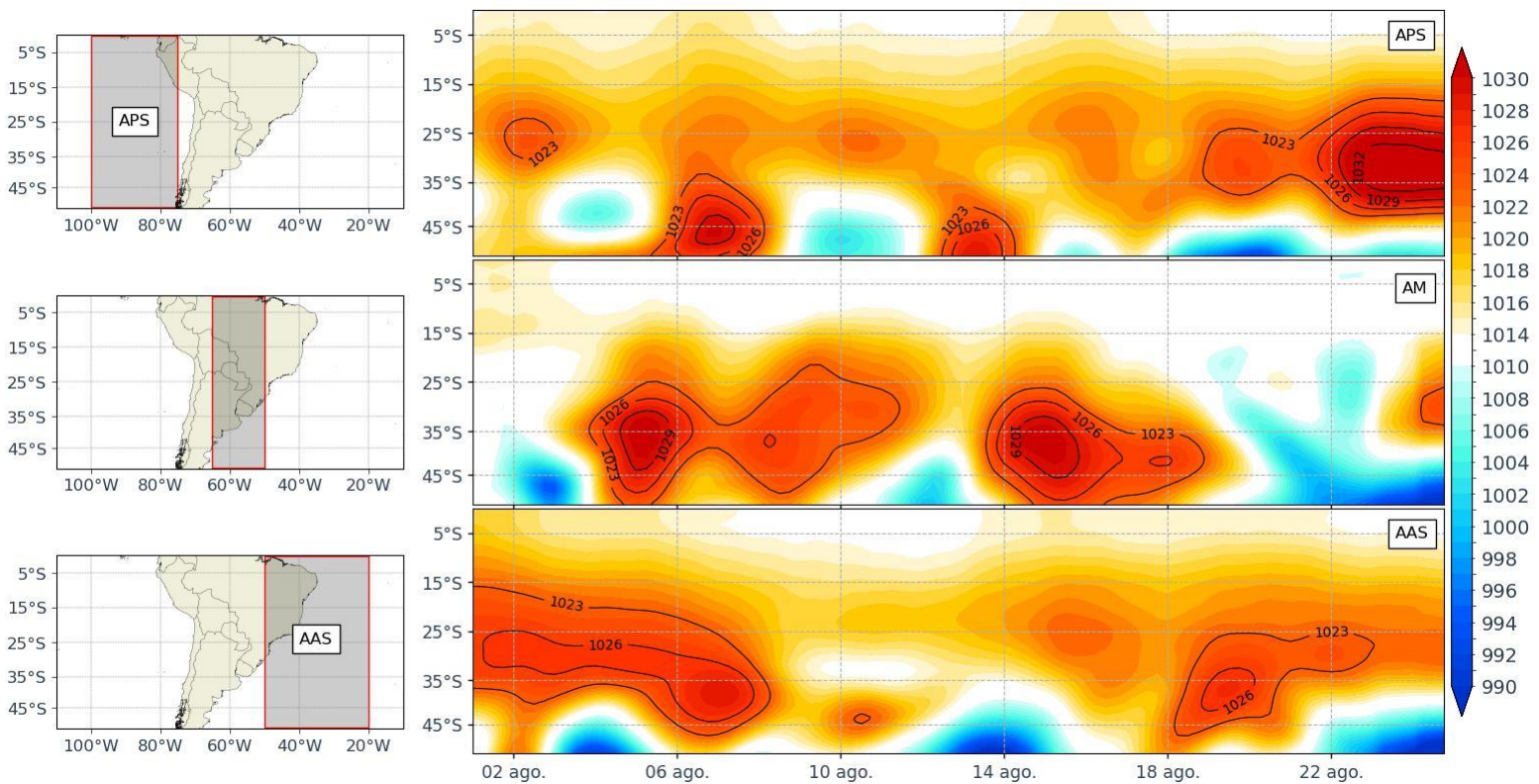


Respecto a las anomalías mensuales de radiación de onda larga, se apreciaron anomalías negativas sobre el noreste de Brasil, parte de la región amazónica y hacia sectores del Atlántico tropical (0°–10°N), lo que estuvo asociado a la presencia de mayor nubosidad en respuesta al incremento del contenido de humedad respecto a lo climático. En contraste, se observaron anomalías positivas desde el Pacífico oriental frente a Perú y Ecuador, extendiéndose entre 10°S y 40°S, extendiéndose hacia Chile central, Uruguay, norte de Argentina y el centro-sur de Brasil, las cuales estuvieron relacionadas a la ausencia de nubosidad en dichas zonas. Estas anomalías positivas reflejaron una disminución en las precipitaciones respecto a su climatología, con condiciones más secas y cielos mayormente despejados.

Las anomalías mensuales de agua precipitable mostraron anomalías positivas en gran parte de la región amazónica (5°N–15°S), abarcando principalmente a Perú, Ecuador, Colombia y el norte de Brasil, así como también en el sur de Chile (40°S–50°S) y sectores adyacentes del Pacífico y Atlántico, lo que sugiere un mayor aporte de humedad y, en consecuencia, mayor nubosidad y probabilidad de precipitaciones. En contraste, se registraron anomalías negativas sobre Paraguay, Bolivia, el centro de Brasil, Uruguay y el sureste de Perú (15°S–25°S), las cuales estuvieron asociadas a una menor actividad convectiva y a una disminución del contenido de humedad respecto a su climatología, condiciones que favorecieron un escenario más seco de lo habitual en esas zonas.

# ANÁLISIS TEMPORAL

## Presión reducida al nivel del mar



Durante le mes de agosto, el APS mostró valores por encima de los 1023 hPa de forma intermitente, principalmente entre el día 2 y el 10, alcanzando un máximo cercano a 1026 hPa, sin llegar a los valores extremos observados en julio (cerca de 1032 hPa). Posteriormente, el APS mantuvo valores ligeramente por debajo de 1023 hPa, indicando una reducción en su intensidad y estabilidad sobre el Pacífico Sur. El AAS presentó una presión sostenida sobre los 1023 hPa durante la primera quincena, con un pico máximo próximo a 1026 hPa, similar al comportamiento del APS, aunque con una intensidad algo menor que la registrada en julio. Las AM, se intensificaron durante los primeros días del mes, con un valor cercano a 1026 hPa, seguido de una disminución en la segunda semana y una ligera recuperación hacia finales del mes. Esta fluctuación indica la influencia de sistemas frontales y posibles eventos de frentes que afectan el área, aunque no tan marcados como en meses anteriores.

**Director de Meteorología y Evaluación  
Ambiental Atmosférica**

Julio Ernesto Urbiola del Carpio  
[jurbiola@senamhi.gob.pe](mailto:jurbiola@senamhi.gob.pe)

**Subdirector de Predicción Meteorológica**

Piero Rivas Quispe  
[privas@senamhi.gob.pe](mailto:privas@senamhi.gob.pe)

**Elaboración y redacción:**

Janet Huaman Vargas  
[jhuamanv@senamhi.gob.pe](mailto:jhuamanv@senamhi.gob.pe)

.....  
Para mayor información sobre los avisos meteorológicos, visite este link :  
<http://www.senamhi.gob.pe/avisos>

.....  
Próxima publicación: OCTUBRE 2025  
.....



**Servicio Nacional de  
Meteorología e Hidrología del  
Perú - SENAMHI**

Jr. Cahuide 785, Jesús María  
Lima - Perú



**Central telefónica: 614-1414  
Unidad Funcional de Atención al  
Ciudadano:**

470-2867

**Pronóstico: 614-1407 o 265-8798  
(Atención las 24 horas vía WhastApp)**

**Consultas y sugerencias:**

[pronosticador@senamhi.gob.pe](mailto:pronosticador@senamhi.gob.pe)